



ارائه شده توسط :

سایت ترجمه فا

مرجع جدیدترین مقالات ترجمه شده

از نشریات معتربر

طرح عادلانه MAX-MIN برای کانال های تداخلی MIMO : رویکرد- Minorization

Maximization

چکیده

ما در مورد طرح precoder خطی (beamformer) در یک کانال تداخلی چند خروجی-چند ورودی بحث می کنیم (MIMO-IC). هدف، طراحی ماتریس های کوواریانس انتقال است به منظور دستیابی به ابزار max-min. که برای همه کاربران مناسب باشد. مشکل بهینه سازی مربوطه به طور کلی محدب نبودن و NP-hard است.

ما یک الگوریتم کارآمد بر اساس تکنیک MM (MM) minorization-maximization برای به دست آوردن راه حل های کیفی مسئله طراحی می کنیم. روش پیشنهاد شده برنامه محدب مخروطی مرتبه دوم را در هر تکرار حل می کند (SOCP) و به یک نقطه ثابت مسئله در شرایط عادی همگرا می شود. ما همچنین الگوریتم را به مواردی که در ماتریس های کوواریانس نویزی با اطلاعات وضعیت کانال (CSI) اختلالاتی وجود دارد، گسترش می دهیم. نتایج شبیه سازی، اثربخشی روش پیشنهادی را در مقایسه با رقیب اصلی آن نشان می دهد.

کلیدواژگان: کانال تداخلی، MIMO ، max-min fairness، MM minorization-maximization

بهینه سازی نرخ.

۱. مقدمه

ما مسئله طرح precoder خطی در یک کانال تداخلی MIMO را در نظر می گیریم که در آن مجموعه ای از جفت های فرستنده-گیرنده با بیش از یک منبع مشترک (زمان یا فرکانس) ارتباط برقرار می کنند. ماتریس precoder می تواند برای بهبود عملکرد شبکه نرخ کل یا نرخ حداقل طراحی شده باشد (max-min fairness).

نقطه نظر [۱] - [۱۶].

- مسئله طرح فرستنده-گیرنده خطی در معیار max-min fairness به طور گسترده ای در نوشته های [۱۰] - [۱] مطالعه شده است. در [۱] و [۲]، مسئله کنترل قدرت در یک سیگنال max-min plus-noise با معیار نرخ تداخلی مورد مطالعه قرار گرفته است و مرزهای عملکرد الگوریتم های کنترل قدرت به دست آمده است. مشکل طراحی فرستنده precoder که نرخ حداقل را برای کاربران شبکه چند ورودی-یک خروجی (MISO) حداقل

می کند نیز در [۶] - [۳] مورد مطالعه قرار گرفته است. نویسنده‌گان [۷] بدترین حالت موضوع SINR را به یک محدودیت قدرت در ماتریس precoder طراحی در یک MIMO-IC افزایش دادند و نشان دادند که این مشکل precoder می تواند با استفاده از بسته های بهینه سازی مخروطی استاندارد حل شود. نویسنده‌گان [۱۷] طرح عادلانه max-min را در یک IC تک ورودی چند خروجی درنظر گرفتند (SIMO) و نشان دادند که این مشکل MIMO-IC در زمان چند جمله ای حل شده باشد. در [۸] نویسنده‌گان مسئله عادلانه max-min در MIMO-IC را به عنوان مسئله پیدا کردن فرستنده_گیرنده بهینه جهانی که SINR مینیمم را برای تمام کاربران ماکزیمم می کند از نو طرح کردند. آنها نشان دادند که وقتی هر فرستنده (گیرنده) مجهز به بیش از یک آنتن باشد و هر گیرنده (فرستنده) مجهز به بیش از دو آنتن باشد، مسئله به شدت NP-hard است. برای مقابله با این مشکل آنها دو الگوریتم که مسئله NP-hard اصلی را به یک سری زیرمجموعه های محدب تجزیه می کند پیشنهاد دادند. در [۹] و [۱۰]، نویسنده‌گان مسئله طراحی precoder خطی را برای MIMO-IC تحت یک معیار عادلانه- \min در نظر گرفتند و نشان دادند که وقتی حداقل دو آنتن در هر فرستنده و گیرنده وجود دارد ، مسئله به کلاس MIMO-IC مسئله های NP-hard تعلق می گیرد. آنها الگوریتمی که راه حل تقریبی مشکل اصلی را محاسبه می کند پیشنهاد دادند. توجه داشته باشید که در کارهای فوق ماتریس های precoder برای مواردی که تعداد علامت ها در یک جریانی که به طور پیشین شناخته شده فرض شده است طراحی شده اند.

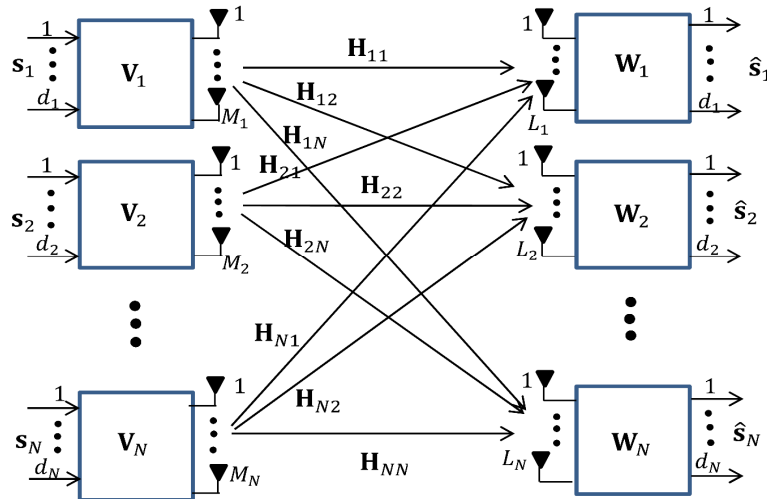
در این مقاله، طرح precoder تداخلی را برای حالت چند ورودی چند خروجی (MIMO) در نظر گرفتیم. هدف ما طراحی ماتریس کوواریانس انتقال (تعداد علامت های انتقالی که می توانند ناشناخته باشند) تحت یک معیار عادلانه max-min برای سیستم ها با استفاده از گیرنده های خطای مربع میانگین مینیمم خطی مرسوم (LMMSE) است. ما یک الگوریتم کارآمد محاسباتی مبتنی بر تکنیک Minimization-maximization (MM)¹ را برای به دست آوردن راه حل های کیفی مسئله طراحی پیشنهاد می کنیم. راه حل های به دست آمده نقاط ثابت مسئله در شرایط معمولی است. در مقایسه با [۹] و [۱۰]، ما بیشتر یک مورد اصلی را با طراحی ماتریس های کوواریانس precoder در نظر می گیریم، که به معنی تعداد مطلوبی از علامت ها در یک جریان است همچنین به عنوان یک نتیجه جانبی به دست آمده است. ما همچنین الگوریتم خود را به موردی که در آن عدم قطعیت در ماتریس کوواریانس نویز یا در CSI وجود دارد گسترش می دهیم.

بقیه مقاله به شرح زیر است: مدل سیگنال و سیستم همراه با مسائل مربوط به طراحی کوواریانس precoder در بخش دوم شرح داده شده است. روش پیشنهادی برای طراحی کوواریانس های Precoder و به Precoder تحت معیار عادلانه max-min در بخش سوم باز شده است. طراحی ویژه ماتریس های Precoder تحت کوواریانس نویز و CSI ناقص در بخش چهارم در نظر گرفته شده اند. نتایج عددی در بخش پنج ارائه شده است و، در نهایت، نتیجه گیری در بخش ششم آورده شده است.

جدول I نشانه گذاری های مورد استفاده در این مقاله را خلاصه می کند.

جدول I: نشانه گذاری

$\ x\ _n :$	$\sum_k x(k) ^n)^{1/n}$ تعریف شده	l_n -norm
مقیلیس طیفی ماتریس X یعنی بزرگترین مقدار منحصر به فرد		
$\ X\ _2 :$	X	
$X_H :$	ترانهاده ماتریکس X	
$tr(X) :$	X	اجرای ماتریس
$\lambda_{\max}(X) :$	X	حداکثر مقدار اختصاصی ماتریکس Hermitian X
$A \times B :$	\odot	نتیجه Kronecker دو ماتریس A و B
$X \geq Y :$		$X - Y$ نیمه قطعی مثبت است
$X > Y :$		$X - Y$ قطعی مثبت است
$X^{1/2} :$	X	ریشه مربع Hermitian ماتریس نیمه قطعی مثبت X
$X = X^{1/2}(X^{1/2})^H$ یعنی		
$vec(X)$	X column-wise	بردار به دست آمده توسط پشته سازی
		:
$I_n :$	$C^{n \times n}$	ماتریس مشخصه
$R :$		مجموعه ای اعداد حقیقی
$C :$		مجموعه ای اعداد مختلط
$R(x) :$	x	قسمت حقیقی x
$R_+ :$		مجموعه ای اعداد حقیقی غیر منفی
$S_N^+ :$	$C^{N \times N}$	مجموعه ای ماتریس های مثبت نیمه قطعی
$S_N^{++} :$	$C^{N \times N}$	مجموعه ای ماتریس های قطعی مثبت



شکل ۱: MIMO-IC عمومی.

۲. مدل سیستم و فرمولسازی مسئله

در نظر گرفتن جفت های فرستنده _ گیرنده N در ارتباط با بیش از یک کانال تداخلی MIMO همانطور که در شکل ۱ نشان داده شده است. ما فرض می کنیم که فرستنده آم و گیرنده زام با آنتن های M_i و L_i به ترتیب مجهز شده اند. فرستنده آم از ماتریس precoder خطی $V_i \in C^{Mi \times di}$ برای تبدیل جریان نماد $s_i \in C^{di \times 1}$ (متشكل از نمادهای داده ای مستقل $d_i \in C^{Mi \times 1}$) به بردار (d_i) استفاده می کند به معنی:

$$d_i = V_{isi} \quad (1)$$

و آن را به بیش از کانال های محو شده تخت می فرستد. سیگنال دریافت شده در گیرنده آم به صورت زیر است:

$$y_i = \underbrace{H_{ii}d_i}_{\text{desired signal}} + \underbrace{\sum_{j \neq i} H_{ji}d_j}_{\text{interference plus noise}} + n_i \quad (2)$$

جایی که $H_{ji} \in C^{Li \times Mj}$ ماتریس کانال بین فرستنده j و گیرنده i را نشان می دهد.

همچنین، $n_i \in C^{Li \times 1}$ نویز گشتاور پیچیده دایره ای متقارن (CSCG) در گیرنده آم با میانگین صفر و ماتریس کوواریانس $S_{Li} \in C^{di \times Li}$ است. گیرنده آم از ماتریس رمزگشای خطی برای بدست آوردن $W_i \in C^{di \times Li}$ برای به دست آوردن $s_i \in C^{di \times 1}$ که از بردار انتقال $\Gamma_i \in S_{Li}^{++}$ برآورد شده است استفاده می کند:

$$\begin{aligned} \hat{\mathbf{s}}_i &= \mathbf{W}_i \mathbf{y}_i \\ &= \mathbf{W}_i \mathbf{H}_{ii} \mathbf{V}_i \mathbf{s}_i + \mathbf{W}_i \sum_{j \neq i} \mathbf{H}_{ji} \mathbf{V}_j \mathbf{s}_j + \mathbf{W}_i \mathbf{n}_i \end{aligned} \quad (3)$$

فرض کنید نماد s_i یک بردار تصادفی گاووسی با میانگین صفر و ماتریس کوواریانس \mathbf{I}_{di} است، نرخ کاربری آم به صورت زیر است [۱۸]:

$$\left(\mathbf{I}_{di} + \mathbf{W}_i \mathbf{H}_{ii} \mathbf{V}_i \mathbf{V}_i^H \mathbf{H}_{ii}^H \mathbf{W}_i^H (\mathbf{W}_i \mathbf{C}_i^{-1} \mathbf{W}_i^H)^{-1} \right) \quad (4)$$

$$R_i = \log \det$$

با $\bar{\mathbf{C}}$ ماتریس کواریانس نویز پلاس تداخلی به صورت زیر تعریف می شود:

$$\bar{\mathbf{C}}_i = \Gamma_i + \sum_{j \neq i} \mathbf{H}_{ji} \mathbf{V}_j \mathbf{V}_j^H \mathbf{H}_{ji}^H \quad (5)$$

استفاده از LMMSE معمولی decoder در گیرنده ها به معنی ماتریس دیکدر آم است که به صورت زیر است:

$$\mathbf{W}_i^{\text{LMMSE}} = \mathbf{V}_i^H \mathbf{H}_{ii}^H \left(\sum_{j=1}^n \mathbf{H}_{ji} \mathbf{V}_j \mathbf{V}_j^H \mathbf{H}_{ji}^H + \Gamma_i \right)^{-1} \quad (6)$$

با جایگزینی (۶) در (۴)، به صورت زیر بازبینی می شود (برای تکمیل یک مدرک از (۶) و (۷) در ضمیمه A قرار

دادیم):

$$R_i = \log \det \left(\mathbf{I}_{di} + \mathbf{V}_i^H \mathbf{H}_{ii}^H [\Gamma_i + \sum_{j \neq i} \mathbf{H}_{ji} \mathbf{V}_j \mathbf{V}_j^H \mathbf{H}_{ji}^H]^{-1} \mathbf{H}_{ii} \mathbf{V}_i \right) \quad (7)$$

تبصره ۱. جالب توجه است، استفاده از دیکدر آم به (۵) نگاه کنید، منجر به همان نرخ

LMMSE می شود به (۷) نگاه کنید. علاوه بر این، ماتریس \mathbf{W}'_i نرخ (۴) را حداکثر می کند. برای دیدن این، از

خواص استاندارد مکمل Schur برای بررسی اینکه نابرابری

$$(8) \quad \mathbf{V}_i^H \mathbf{H}_{ii}^H \mathbf{W}_i^H (\mathbf{W}_i \mathbf{C}_i^{-1} \mathbf{W}_i^H)^{-1} \mathbf{W}_i \mathbf{H}_{ii} \mathbf{V}_i \preceq \mathbf{V}_i^H \mathbf{H}_{ii}^H \mathbf{C}_i^{-1} \mathbf{H}_{ii} \mathbf{V}_i$$

معادل نیمه قطعی مثبت ماتریس است استفاده می شود:

$$\Phi_i = \begin{bmatrix} \mathbf{V}_i^H \mathbf{H}_{ii}^H \mathbf{C}_{\bar{i}}^{-1} \mathbf{H}_{ii} \mathbf{V}_i & \mathbf{V}_i^H \mathbf{H}_{ii}^H \mathbf{W}_i^H \\ \mathbf{W}_i \mathbf{H}_{ii} \mathbf{V}_i & \mathbf{W}_i \mathbf{C}_{\bar{i}} \mathbf{W}_i^H \end{bmatrix} \quad (9)$$

حالا، مشاهده کنید که ماتریس Φ_i در بالا در واقع در S_{di}^+ است چون می تواند به صورت $\Phi_i = \Theta_i \Theta_i^H$ شده باشد با:

$$\Theta_i = \begin{bmatrix} \mathbf{V}_i^H \mathbf{H}_{ii}^H & \mathbf{0} \\ \mathbf{0} & \mathbf{W}_i \end{bmatrix} \begin{bmatrix} \mathbf{C}_{\bar{i}}^{-1/2} \\ \mathbf{C}_{\bar{i}}^{1/2} \end{bmatrix} \quad (10)$$

بنابراین، (۸) درست است. علاوه بر این می توان تایید کرد که با جایگزین $\mathbf{V}_i^H \mathbf{H}_{ii}^H \mathbf{C}_{\bar{i}}^{-1} \mathbf{H}_{ii} \mathbf{V}_i$ در (۸)، سمت چپ می شود که معادل سمت راست است. بنابراین، \mathbf{W}'_i نرخ در (۴) را

حداکثر می کند. از آنجا که دیکدر LMMSE در (۶) و \mathbf{W}'_i همان نرخ را تولید می کنیم، ما نتیجه می گیریم که دیکدر LMMSE نرخ را نیز به خوبی به حداکثر می رساند.

استفاده از ویژگی تعیین کننده Sylvester $\det(\mathbf{I} + \mathbf{AB}) = \det(\mathbf{I} + \mathbf{BA})$ به معنی R_i در

(۷) می تواند به صورت زیر بازنویسی شود:

$$R_i = \log \det (\mathbf{I}_{Li} + \mathbf{H}_{ii} \mathbf{Q}_i \mathbf{H}_{ii}^H [\Gamma_i + \sum_{j \neq i} \mathbf{H}_{ji} \mathbf{Q}_j \mathbf{H}_{ji}^H]^{-1}) \quad (11)$$

ماتریس های کوواریانس precode $\mathbf{Q}_i \triangleq \mathbf{V}_i \mathbf{V}_i^H \in \mathbb{C}^{M_i \times M_i}$ ، $i=1,\dots,N$ که در این مقاله،

هدف طراحی ماتریس های کوواریانس precoder $\{\mathbf{Q}_i\}_{i=1}^N$ حداقل نرخ کاربران است،

$$\max_{\{\mathbf{Q}_i\}_{i=1}^N} \min_{i=1,2,\dots,N} R_i$$

$$\text{s.t.} \quad \text{tr}\{\mathbf{Q}_i\} \leq p_i$$

که می تواند به صورت مسئله زیر تعیین شود:

$$\mathbf{Q}_i \succeq \mathbf{0} \quad \forall i = 1, 2, \dots, N \quad (12)$$

$$\forall i = 1, 2, \dots, N$$

که p_i قدرت موجود برای فرستنده i است. در بخش بعد، ما فرض می کنیم که ماتریس کوواریانس نویز $\{\Gamma_i\}_{i=1}^N$

$$\}_{i=1}^N$$

همچنین ماتریس های کanal $\{\mathbf{H}_{ij}\}_{i,j=1}^N$ دقیقاً شناخته شده هستند. ما مورد دانش پیشین متغیر را در بخش چهارم در نظر می گیریم.

۳. روش پیشنهادی

می توان نشان داد که مسئله طراحی در (۱۲) به طور کلی غیر محدب و NP-hard است [۱۰]. در ادامه، ما یک روش مبتنی بر تکنیک (MM) minorization-maximization برای مقابله با این مسئله طراحی می کنیم [۱۹].

در (۱۲) محدودیت ها محدب هستند، اما تابع هدف غیر محدب است. بنابراین ما تکنیک MM را به تابع هدف اعمال خواهیم کرد. برای این منظور ابتدا ما گزاره زیر را معرفی می کنیم

گزاره ۱۵. نرخ R_i نگاه کنید به (۱۱)، می تواند به صورت زیر بازنویسی شود:

$$R_i = \log \det(\mathbf{U}^H \mathbf{B}_i^{-1} \mathbf{U}) \quad (13)$$

که \mathbf{U} و \mathbf{B}_i به صورت زیر تعریف شده اند:

$$\mathbf{U} \triangleq \begin{bmatrix} \mathbf{I}_{M_i} & \mathbf{0}_{M_i \times L_i} \end{bmatrix}^T \quad (14)$$

$$\mathbf{B}_i = \begin{bmatrix} \mathbf{I}_{M_i} & \tilde{\mathbf{V}}_i^H \mathbf{H}_{ii}^H \\ \mathbf{H}_{ii} \tilde{\mathbf{V}}_i & \Gamma_i + \sum_{j=1}^N \mathbf{H}_{ji} \tilde{\mathbf{V}}_j \tilde{\mathbf{V}}_j^H \mathbf{H}_{ji}^H \end{bmatrix} \quad (15)$$

$$\tilde{\mathbf{V}}_i \triangleq \mathbf{Q}_i^{\frac{1}{2}} \in \mathbb{C}^{M_i \times M_i} \quad (9)$$

اثبات: پیوست \mathbf{B} را بینید

با استفاده از (۱۳)، این مسئله در (۱۲) می تواند به صورت زیر بازنویسی شود:

$$\max \quad \min \log \det(\mathbf{U}^H \mathbf{H}_{ii}^{-1} \mathbf{U}) \quad (16)$$

$$\{\tilde{\mathbf{V}}_i\}_{i=1}^N, \quad i=1, \dots, N$$

$$\text{s.t.} \quad \text{tr}\{\tilde{\mathbf{V}}_i \tilde{\mathbf{V}}_i^H\} \leq p_i, \quad \forall i=1, 2, \dots, N$$

در موضوع زیر (به عنوان مثال، [۲۰] را بینید) زمین را برای استفاده از MM در (۱۶) قرار می دهد.

برای هر ماتریس رتبه بندی کاملاً ستونی \mathbf{U} لم ۱. تابع R_+ : $S^{++} \rightarrow R_+$
 $\mathbf{B}_i \succ \mathbf{0}, \forall i = 1, 2, \dots, N$
 (پیوست C را ببینید)، هدف

محدب است. با استفاده از لم ۱ و توجه به

عملکرد در مسئله (۱۶) می‌تواند در $\bar{\mathbf{B}}_i$ داده شده به صورت زیر حداقل شده باشد :

$$\begin{aligned} \log \det(\mathbf{U}^H \mathbf{B}_i^{-1} \mathbf{U}) &\geq \log \det(\mathbf{U}^H \bar{\mathbf{B}}_i^{-1} \mathbf{U}) \\ &\quad - \text{tr}\{\mathbf{F}_i(\mathbf{B}_i - \bar{\mathbf{B}}_i)\} \end{aligned} \quad (۱۷)$$

که \mathbf{F}_i به صورت زیر است(پیوست D را ببینید):

$$\mathbf{F}_i = \bar{\mathbf{B}}_i^{-1} \mathbf{U} (\mathbf{U}^H \bar{\mathbf{B}}_i^{-1} \mathbf{U})^{-1} \mathbf{U}^H \bar{\mathbf{B}}_i^{-1} \quad (۱۸)$$

توجه داشته باشید که $\bar{\mathbf{B}}_i$ می‌تواند به عنوان مقدار \mathbf{B}_i در نظر گرفتار $(k-1)$ انتخاب شده باشد. در نتیجه:

$$\begin{aligned} g_i^{(\kappa)}(\tilde{\mathbf{V}}_1, \dots, \tilde{\mathbf{V}}_N) &\triangleq \log \det(\mathbf{U}^H (\mathbf{B}_i^{(\kappa-1)})^{-1} \mathbf{U}) \\ &\quad - \text{tr}\{\mathbf{F}_i(\mathbf{B}_i - \mathbf{B}_i^{(\kappa-1)})\} \end{aligned} \quad (۱۹)$$

(ما وابستگی \mathbf{F} به تعداد تکرار را حذف می‌کنیم تا نشانه گذاری را ساده تر کنیم). سپس این را از (۱۷) که تابع

$$\min_{i=1, \dots, N} \log \det(\mathbf{U}^H \mathbf{B}_i^{-1} \mathbf{U}) \geq \min_{i=1, \dots, N} g_i^{(\kappa)}(\tilde{\mathbf{V}}_1, \dots, \tilde{\mathbf{V}}_N) \quad (۲۰)$$

تکنیک MM که از (۲۰) استفاده می‌کند، شامل حل تکراری مسئله زیر است (برای $k=1, 2, \dots$):

$$\begin{aligned} \max_{\{\tilde{\mathbf{V}}_i\}_{i=1}^N} \min_{i=1, \dots, N} g_i^{(\kappa)}(\tilde{\mathbf{V}}_1, \dots, \tilde{\mathbf{V}}_N) \\ \text{s.t. } \text{tr}\{\tilde{\mathbf{V}}_i \tilde{\mathbf{V}}_i^H\} \leq p_i, \quad \forall i = 1, 2, \dots, N \end{aligned} \quad (۲۱)$$

بعد، ما با استفاده از متغیر کمکی t (۲۱) را بازنویسی کنیم:

$$\max_{\{\tilde{\mathbf{V}}_i\}_{i=1}^N, t} t \quad (۲۲)$$

برای استخراج یک $\{\tilde{\mathbf{V}}_i\}_{i=1}^N$ از نظر متغیرهای $g_i^{(\kappa)}(\tilde{\mathbf{V}}_1, \dots, \tilde{\mathbf{V}}_N) \geq t$ ، محدود

$$\text{tr}\{\tilde{\mathbf{V}}_i \tilde{\mathbf{V}}_i^H\} \leq p_i, \quad \forall i = 1, 2, \dots, N$$

$$\mathbf{F} = \begin{pmatrix} \mathbf{F}_{11 M_i \times M_i} & \mathbf{F}_{12 M_i \times L_i} \\ \mathbf{F}_{21 L_i \times M_i} & \mathbf{F}_{22 L_i \times L_i} \end{pmatrix} \quad (۲۳)$$

سپس، ترکیب (۲۳) و (۱۵)، می تواند به صورت زیر شود:

$$\begin{aligned} \text{tr}\{\mathbf{F}_i \mathbf{B}_i\} &= 2\Re\{\text{tr}\{(\mathbf{F}_i)_{12} \mathbf{H}_{ii} \tilde{\mathbf{V}}_i\}\} + \text{tr}\{(\mathbf{F}_i)_{11}\} \\ &\quad + \text{tr}\{(\mathbf{F}_i)_{22} \boldsymbol{\Gamma}_i\} \\ &\quad + \text{tr}\{(\mathbf{F}_i)_{22} \sum_{j=1}^N \mathbf{H}_{ji} \tilde{\mathbf{V}}_i \tilde{\mathbf{V}}_i^H \mathbf{H}_{ji}^H\}. \end{aligned} \quad (۲۴)$$

و استفاده از خواص اپراتور برداری، تعريف
 $\text{vec}(\mathbf{ABC}) = (\mathbf{C}^T \tilde{\otimes} \mathbf{A}) \text{vec}(\mathbf{B})$
(برای هر ماتریس دلخواه $\mathbf{A}, \mathbf{B}, \mathbf{C}$) ما می توانیم اولین و آخرین جمله ها

در (۲۴) را بازنویسی کنیم:

$$\text{tr}\{(\mathbf{F}_i)_{12} \mathbf{H}_{ii} \tilde{\mathbf{V}}_i\} = \mathbf{b}_i^H \mathbf{x}_i \quad (۲۵)$$

$$\text{tr}\{(\mathbf{F}_i)_{22} \sum_{j=1}^N \mathbf{H}_{ji} \tilde{\mathbf{V}}_i \tilde{\mathbf{V}}_i^H \mathbf{H}_{ji}^H\} = \sum_{j=1}^N \mathbf{x}_j^H \mathbf{G}_{ji} \mathbf{x}_j \quad (۲۶)$$

که $\mathbf{G}_{ji} \triangleq \mathbf{I}_M \otimes (\mathbf{H}_{ji}^H (\mathbf{F}_i)_{22} \mathbf{H}_{ji})$ و $\mathbf{b}_i \triangleq \text{vec}(\mathbf{H}_{ii}^H (\mathbf{F}_i)_{12}^H)$. توجه داشته باشید که با توجه

$$\mathbf{H}_{ji}^H (\mathbf{F}_i)_{22} \mathbf{H}_{ji} \quad \mathbf{G}_{ji} \succeq \mathbf{0} \quad \text{به}$$

خواص نتیجه Kronecker زیرا غیر قطعی مثبت است. در نتیجه، این مسئله در

(۲۲) که در تکرار \mathbb{M} حل شده است می تواند به صورت بهینه زیر بازنویسی شود:

$$\text{s.t.} \quad C_i^{(\kappa-1)} + 2\Re\{(\mathbf{b}_i^{(\kappa-1)})^H \mathbf{x}_i\} + \sum_{j=1}^N \mathbf{x}_j^H \mathbf{G}_{ji}^{(\kappa-1)} \mathbf{x}_j \leq -t$$

$$\forall i = 1, 2, \dots, N \quad (۲۷)$$

$$\|\mathbf{x}_i\|_2^2 \leq p_i \quad \forall i = 1, 2, \dots, N$$

که ثابت مقدار واقعی است C_i

$$\begin{aligned} C_i^{(\kappa-1)} &= -\log \det(\mathbf{U}^H (\mathbf{B}_i^{(\kappa-1)})^{-1} \mathbf{U}) - \text{tr}\{\mathbf{F}_i^{(\kappa-1)} \mathbf{B}_i^{(\kappa-1)}\} \\ &\quad + \text{tr}\{(\mathbf{F}_i^{(\kappa-1)})_{11}\} + \text{tr}\{(\mathbf{F}_i^{(\kappa-1)})_{22} \boldsymbol{\Gamma}_i\}. \end{aligned} \quad (۲۸)$$

توجه داشته باشید که (۲۷) مسئله محدبی با یک هدف خطی و محدودیت‌های درجه دوم است. از این رو می‌توان آن را به عنوان برنامه مخروطی مرتبه دوم (SOCP) بیان کرد. الگوریتم پیشنهادی، که بر اساس حل تکراری i.i.d CSCG (۲۷) است، در جدول ۲ خلاصه شده است. در مرحله اول، ما الگوریتم را با متغیرهای تصادفی p_i مقداردهی اولیه می‌کنیم. پس ساختن آنها با نرمال‌سازی امکان پذیر است یعنی $p_i \leq \|x_i\|_2^2$ ، در مرحله دوم، ما از روش‌های کارآمد مانند الگوریتم‌های نقطه داخلی برای حل مسئله (۲۷) استفاده می‌کنیم [۲۱]. بعد از به روز رسانی پارامترها در مرحله ۳، معیار توقف چک شده و مراحل ۱ تا ۳ تکرار می‌شوند تا این معیار کامل شود. **تبصره ۲ (همگرایی):** الگوریتم پیشنهادی را می‌توان به صورت همگرایی محلی نشان داد. برای این منظور، مشاهده کنید که برای نرخ حداقل در تکرار k ما این را داریم:

$$\begin{aligned} \min_i \log \det(\mathbf{U}^H (\mathbf{B}_i^{(\kappa-1)})^{-1} \mathbf{U}) &= \min_i g_i^{(\kappa)}(\tilde{\mathbf{V}}_1^{(\kappa-1)}, \dots, \tilde{\mathbf{V}}_N^{(\kappa-1)}) \\ &\leq \min_i g_i^{(\kappa)}(\tilde{\mathbf{V}}_1^{(\kappa)}, \dots, \tilde{\mathbf{V}}_N^{(\kappa)}) \leq \min_i \log \det(\mathbf{U}^H (\mathbf{B}_i^{(\kappa)})^{-1} \mathbf{U}) \end{aligned} \quad (29)$$

اولین نابرابری در (۲۹) به دلیل مرحله حداقل‌سازی در تکرار k است و دومین به دلیل تعریف حداقل سازی برآورد شده است (۲۰). ترکیب (۲۹) و این واقعیت که تابع هدف محدودیت بالایی دارد، به این معنی است که توالی مقادیر موردنظر همگرا است.

تبصره ۳ (محاسبه \mathbf{V}_i از \mathbf{Q}_i): در همگرایی روش پیشنهادی، کوواریانس‌های انتقال بهینه شده $\mathbf{Q}_i = \{\tilde{\mathbf{V}}_i \tilde{\mathbf{V}}_i^H\}$ به دست آمده‌اند. بعد، ماتریس‌های precoder به عنوان ریشه های مربع $\{\mathbf{V}_i\} \in \mathbb{C}^{M_i \times d_i}$ به دست می‌آید. توجه داشته باشید که ماتریس precoder \mathbf{V}_i به دست آمده \mathbf{V}_i منحصر به فرد نیست، اما این بر نرخ تاثیری نمی‌گذارد. در واقع نرخ R_i در (۷) یک تابع چند به یک V_i است مانند V_i و $V_i A$ که منجر می‌شود به همان R_i برای هر ماتریس A ، $AA^H = I$ ، A را برآورد می‌کند. همچنین توجه داشته باشید که هرگاه Q_i (تقریباً) یکنواخت باشد، می‌تواند عملیات آستانه‌ای را در مقادیر خاص خود انجام دهد و تعداد ستون‌های V_i را به ترتیب کاهش دهد. در نهایت مشاهده می‌کنید که طول‌های جریان بهینه شده

$$\{\mathbf{V}_i\} \in \mathbb{C}^{M_i \times d_i}, \quad \text{را داریم.} \quad \{d_i\}_{i=1}^N \text{ می‌شود هنگامی که ما}$$

یادداشت ۴. (طرح دقیق برای $\{d_i\}_{i=1}^N$ داده شده): همانطور که در بالا توضیح داده شد، با طراحی ماتریس های

کوواریانس $\{Q_i\}_{i=1}^N$ ، ما به طور همزمان ماتریس $\{V_i\}_{i=1}^N$ و تعداد ستون های آنها

$V_i \in \mathbb{C}^{M_i \times d_i}$ را طراحی کنیم به عنوان $\tilde{V}_i \in \mathbb{C}^{M_i \times M_i}$ بانهای نمادی. در برخی موارد، طول جریان های نمادی

$\{d_i\}_{i=1}^N$ داده شده اند و ماتریس های $\{V_i\}_{i=1}^N$ باید به طور مستقیم طراحی شود. برای مقابله با

$V_i \in \mathbb{C}^{M_i \times d_i}$ این مورد، ما می توانیم روش پیشنهاد شده را به سادگی با جایگزینی $\tilde{V}_i \in \mathbb{C}^{M_i \times M_i}$ در (۱۶) با

تغییر دهیم.

۴. طراحی precoder در مواجهه با نامعلومی دانش پیشین

در عمل همیشه عدم قطعیت کوواریانس نویز و اطلاعات وضعیت کanal وجود دارد. در این بخش، این عدم قطعیت

ها را در مسئله طراحی بررسی خواهیم کرد.

ابتدا اثر CSI ناقص را به علت خطاهای تخمین $H_{ji} = \hat{H}_{ji} + Z_{ji}$ معمولی، با استفاده از برآوردگر LMMSE

کanal ها را می توان به صورت زیر مدل کرد [۲۲]:

$$H_{ji} = \hat{H}_{ji} + Z_{ji} \quad (30)$$

جدول ۲: روش پیشنهادی برای طراحی نرخ max-min ماتریس های انتقال کوواریانس در MIMO-IC

مرحله ۱: شروع $\{x_i\}_{i=1}^N$ با بردارهای تصادفی پیچیده در $\mathbb{C}^{M_i^2 \times 1}$ به طوری که

$\|x_i\|_2^2 \leq p_i$. آنها برآورد می شوند.

مرحله ۲: حل SOC P (محدب) در مسئله (۲۷).

مرحله ۳: به روز رسانی b_i ، G_{ji} ، و C_i با توجه به معادلات (۲۵)، (۲۶)، و (۲۸) به ترتیب.

مرحله ۴: مراحل ۱ و ۲ را تکرار کنید تا معیار توقف تعریف شده از قبل تعیین شده باشد، مانند

$$\epsilon > 0 \quad |t^{(\kappa)} - t^{(\kappa-1)}| \leq \epsilon$$

که \hat{H}_{ji} تخمین کanal واقعی H_{ji} است و Z_{ji} خطای تخمین کanal است که فرض شده است به \hat{H}_{ji} وابسته نیست.

فرض کنید $\mathcal{R}V_{\rho_{ji}} \sim \mathcal{CN}(0, \sigma_{ji}^2)$ با واریانس σ_{ji}^2 ، ورودی های \hat{H}_{ji} و Z_{ji} بای تصادفی باشند.

کمیت دقت برآورده را با ρ_{ji} و $\hat{H}_{ji} = H_{ji}$ پارامتر ρ_{ji} ترتیب می کنند، به خصوص اگر

$$\text{CSI} = J_i = H_{ji}$$

با قرار دادن (۳۰) در (۲)، به دست می آوریم:

$$y_i = \underbrace{\hat{H}_{ii} V'_i s_i}_{\text{desired signal}} + \underbrace{\sum_{j \neq i} \hat{H}_{ji} V'_j s_j + \sum_{j=1}^N Z_{ji} V'_j s_j + n_i}_{\text{interference plus estimation error and noise}} \quad (31)$$

با وجود ' V_i ماتریس precoder فرستنده i ام که تحت CSI ناقص طراحی شده است. می تواند به صورت زیر

$$\mathbb{E} \left\{ Z_{ji} V'_j V'^H_j Z_{ji}^H \right\} = (1 - \rho_{ji}^2) \sigma_{ji}^2 \text{tr} \{ V'_j V'^H_j \} I_{L_i} \quad \text{ثابت شود:}$$

(۳۲)

بنابراین، دیکدر LMMSE خواهد بود:

$$\hat{W}_i^{\text{LMMSE}} = V'^H_i \hat{H}_{ii}^H \left(\sum_{j=1}^N \hat{H}_{ji} V'_j V'^H_j \hat{H}_{ji}^H + \sum_{j=1}^N (1 - \rho_{ji}^2) \sigma_{ji}^2 \text{tr} \{ V'_j V'^H_j \} I_{L_i} + \Gamma_i \right)^{-1} \quad (33)$$

در نظر بگیرید $R_i \triangleq V'_j V'^H_j$ ماتریس کوواریانس CSI ناقص باشد. نرخ i کاربر

$$\begin{aligned} R_i &= \log \det \left(I_{L_i} + \hat{H}_{ii} Q'_i \hat{H}_{ii}^H \left[\Gamma_i + \sum_{j \neq i} \hat{H}_{ji} Q'_j \hat{H}_{ji}^H \right. \right. \\ &\quad \left. \left. + \sum_{j=1}^N (1 - \rho_{ji}^2) \sigma_{ji}^2 \text{tr} \{ Q'_j \} I_{L_j} \right]^{-1} \right) \end{aligned} \quad (34)$$

بعد، ما همچنین عدم قطعیت ماتریس کوواریانس نویز را می توانیم به صورت زیر مدل سازی کنیم [۲۰]:

$$\| \Gamma_i - \hat{\Gamma}_i \|_2 \leq \zeta_i, \quad \forall i = 1, \dots, N$$

(۳۵)

اسکالرهای $\hat{\Gamma}_i$ ماتریس های قطعی مثبت شناخته شده اند (حدس های اولیه ماتریس های کوواریانس S_i)

$$\begin{aligned} & \max_{\{\mathbf{Q}'_i\}_{i=1}^N} \min_{i=1, \dots, N} \min_{\{\Gamma_i\}_{i=1}^N} \hat{R}_i \\ \text{s.t.} \quad & \text{tr}\{\mathbf{Q}'_i\} \leq p_i, \quad \forall i = 1, 2, \dots, N \\ & \|\Gamma_i - \hat{\Gamma}_i\|_2 \leq \zeta_i, \quad \forall i = 1, 2, \dots, N \\ & \Gamma_i \succeq \mathbf{0}, \mathbf{Q}'_i \succeq \mathbf{0} \quad \forall i = 1, 2, \dots, N \end{aligned}$$

مشتبی هستند که اندازه مناطق نامعلوم را تعیین می کند.
ما می توانیم روش طراحی را با توجه به نامعلومی دانش پیش
له بهینه زیر قوی کنیم :

که \hat{R}_i در (۳۴) آورده شده است. در ادامه، ما قضیه ای ارائه می دهیم که نشان می دهد مسئله (۳۶) را می توان با استفاده از یک نسخه اصلاح شده از روش پیشنهادی در بخش سوم مورد بررسی قرار داد.

قضیه ۱. در نظر بگیرید R'_i به صورت زیر تعریف شده باشد:

$$R'_i = \log \det \left(\mathbf{I}_{L_i} + \hat{\mathbf{H}}_{ii} \mathbf{Q}'_i \hat{\mathbf{H}}_{ii}^H \left[\Gamma'_i + \sum_{j \neq i} \hat{\mathbf{H}}_{ji} \mathbf{Q}'_j \hat{\mathbf{H}}_{ji}^H \right]^{-1} \right. \\ \left. + \sum_{j=1}^N (1 - \rho_{ji}^2) \sigma_{ji}^2 \text{tr}\{\mathbf{Q}'_j\} \mathbf{I}_{L_j} \right) \quad (37)$$

که

$$\max_{\{\mathbf{Q}'_i\}_{i=1}^N} R'_i \quad \Gamma'_i = \hat{\Gamma}_i + \zeta_i \mathbf{I}_{L_i} \\ \text{s.t.} \quad \text{tr}\{\mathbf{Q}'_i\} \leq p_i, \quad \forall i = 1, 2, \dots, N \\ \mathbf{Q}'_i \succeq \mathbf{0} \quad \forall i = 1, 2, \dots, N \quad (38)$$

این مسئله معادل با مسئله (۳۶) است به این معنی که این دو مسئله یک راه حل مشابه را دارند.

اثبات: با توجه به اینکه مسئله داخلی (۳۶) قابل جدا شدن است i.w.r.t Γ_i ، ما آن را با یک ثابت می گیریم:

$$\min_{\Gamma_i \succeq \mathbf{0}} \hat{R}_i \\ \text{s.t.} \quad \|\Gamma_i - \hat{\Gamma}_i\|_2 \leq \zeta_i \quad (39)$$

$\Gamma_i - \hat{\Gamma}_i$ ماتریس Note that $\|\Gamma_i - \hat{\Gamma}_i\|_2 = \sqrt{\lambda_{\max}((\Gamma_i - \hat{\Gamma}_i)^H(\Gamma_i - \hat{\Gamma}_i))}$ توجه داشته باشید که

$\max_m |\lambda_m(\Gamma_i - \hat{\Gamma}_i)| \leq \zeta_i$ $\|\Gamma_i - \hat{\Gamma}_i\| \leq \zeta_i$ هستند؛ بنابراین، محدودیت Hermitian است با $\lambda_m(\Gamma_i - \hat{\Gamma}_i)$

با وجود مقدار خاص m ماتریس $\Gamma_i - \hat{\Gamma}_i$

$$\lambda_m(\Gamma_i - \hat{\Gamma}_i) \in [-\zeta_i, \zeta_i], \forall m = 1, 2, \dots, L_i$$

(۴۰)

بنابراین، ما این را در آخر می توانیم ثابت کنیم که محدودیت (۳۹) برابر است:

$$\hat{\Gamma}_i - \zeta_i \mathbf{I}_{L_i} \preceq \Gamma_i \preceq \hat{\Gamma}_i + \zeta_i \mathbf{I}_{L_i} \quad (41)$$

و بنابراین، (۳۹) معادل با بهینه سازی زیر است:

$$\begin{aligned} & \min_{\mathbf{r}_i \succeq \mathbf{0}} \quad \hat{R}_i \\ \text{s.t.} \quad & \hat{\Gamma}_i - \zeta_i \mathbf{I}_{L_i} \preceq \Gamma_i \preceq \hat{\Gamma}_i + \zeta_i \mathbf{I}_{L_i} \end{aligned} \quad (42)$$

در نتیجه، با $(1 - \rho_{ji}^2) \sigma_{ji}^2 \operatorname{tr}\{\mathbf{Q}'_j\} \mathbf{I}_{L_j} \succeq \mathbf{0}, \forall i, j$ و همچنین $\mathbf{H}_{ji} \mathbf{Q}_j \mathbf{H}_{ji}^H \succeq \mathbf{0}$ توجه داشته باشید که

استفاده از

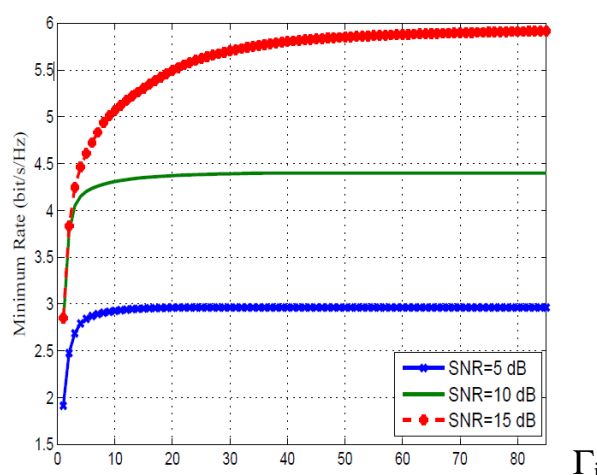
$$\left[\Gamma_i + \sum_{j \neq i} \mathbf{H}_{ji} \mathbf{Q}_j \mathbf{H}_{ji}^H + \sum_{j=1}^N (1 - \rho_{ji}^2) \sigma_{ji}^2 \operatorname{tr}\{\mathbf{Q}'_j\} \mathbf{I}_{L_j} \right]^{-1} \quad (41) \text{ ما داریم:}$$

$$\left[\hat{\Gamma}_i + \zeta_i \mathbf{I}_{L_i} + \sum_{j \neq i} \mathbf{H}_{ji} \mathbf{Q}_j \mathbf{H}_{ji}^H + \sum_{j=1}^N (1 - \rho_{ji}^2) \sigma_{ji}^2 \operatorname{tr}\{\mathbf{Q}'_j\} \mathbf{I}_{L_j} \right]^{-1} \quad (43)$$

نتیجه بیان شده از (۴۳) به صورت زیر است.

نتیجه ۱. مشکل طراحی قدرتمند (۳۶) می تواند با استفاده از الگوریتم پیشنهادی حل شود (جدول ۲ را ببینید)

پس از جایگزینی در $\Gamma'_i + \sum_{j=1}^N (1 - \rho_{ji}^2) \sigma_{ji}^2 \operatorname{tr}\{\mathbf{Q}'_j\} \mathbf{I}_{L_j}$ ، و پس از اصلاح \mathbf{G}_{ji} ، \mathbf{F}_i و \mathbf{C}_i بر همین اساس.



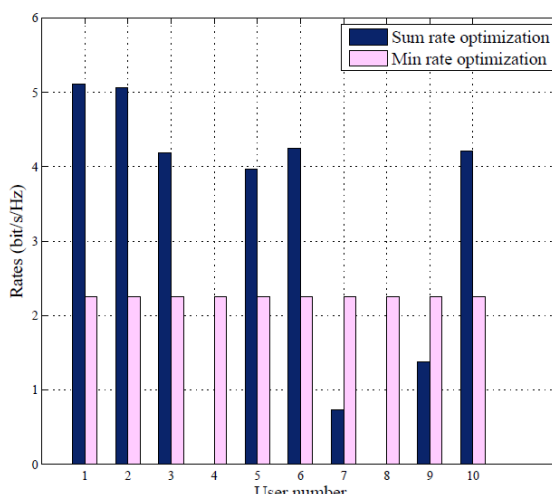
شکل ۲: نرخ حداقل در مقایسه با تعداد تکرار برای روش پیشنهادی.

۵. نتایج عددی

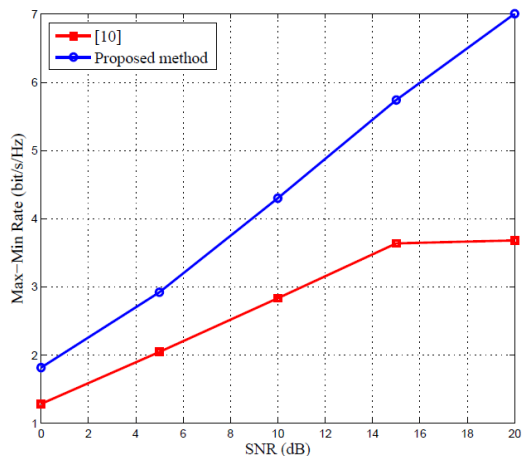
در این بخش، ما چند مثال عددی را برای نشان دادن عملکرد روش پیشنهادی ارائه می‌دهیم. در همه موارد، مگر $N = 3$, $M_i = L_i \triangleq M = 4$, and $\text{SNR} \triangleq \frac{L_i P_i}{N_0} = 15\text{dB}$, $\forall i = 1, 2, \dots, N$, و اینکه خلافش بیان شده باشد، فرض می‌کنیم که $\Gamma_i = I_{L_i}$, و عناصر ماتریس $\mathbf{N} = 1, 2, \dots, N$. بردارهای نویز گیرنده با واریانس واحد فرض می‌شود، به عنوان مثال، \mathbf{I}_{L_i} ، و عناصر ماتریس \mathbf{N} های کanal i.i.d. CSCG متفاوت‌های تصادفی با میانگین صفر و واریانس واحد هستند.

برای بررسی رفتار همگرایی الگوریتم پیشنهادی، در شکل ۲ ما حداقل نرخ به دست آمده در تکرارهای مختلف برای مقادیر مختلف SNR را ترسیم می‌کنیم. می‌توان مشاهده کرد که حداقل نرخ، یعنی ارزش تابع هدف، در هر تکرار با نتایج بخش سوم یکی است. همانطور که انتظار می‌رود، SNR بالاتر، نرخ حداقل بزرگتری دارد.

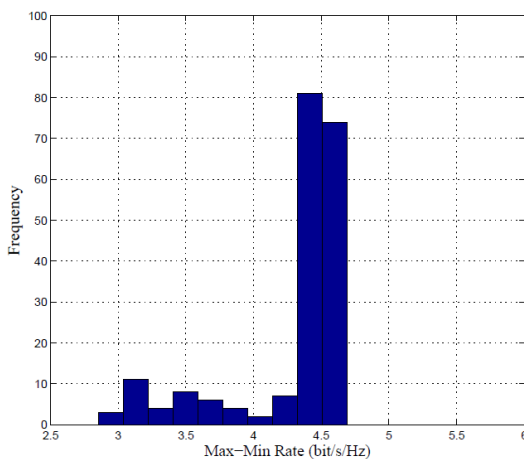
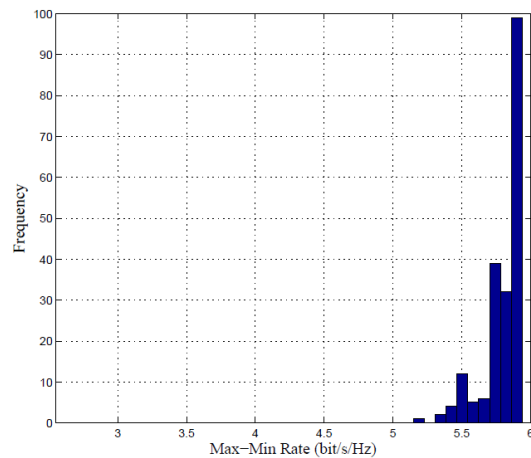
برای نشان دادن اهمیت در نظر گرفتن معیار عادلانه max-min precoder برای طراحی \mathbf{H} ، در شکل ۳ ما عملکرد روش پیشنهادی را با روش متداول حداکثر سازی مقیاس در [۱۵] برای $N = 10$ مقایسه می‌کنیم. همانطور که انتظار می‌رود، زمانی نرخ سود حداکثر می‌شود، که کاربرانی با نرخ بسیار پایین (به عنوان مثال، کاربران ۴ و ۸) و کاربرانی با نرخ بالا (به عنوان مثال کاربران ۱ و ۲) وجود داشته باشند. بنابراین، مزیت عمده روش پیشنهادی می‌باشد که با استفاده از روش مذکور می‌توان نرخ مجموع مانند [۱۵] این است که با استفاده از روش مذکور نرخ نسبتاً در میان کاربران توزیع خواهد شد.



شکل ۳: مقایسه حداکثر سازی نرخ حداقل و حداکثر سازی نرخ مجموع برای $N = 10$. نرخ کاربران ۴ و ۸ برای دیدن خیلی کوچک است.



شکل ۴: نرخ max-min بدست آمده توسط الگوریتم پیشنهاد شده و روش [۱۰]، در مقابل SNR سپس، روش پیشنهادی را با روش [۱۰] برای بهینه سازی نرخ حداقل مقایسه می کنیم. شکل ۴ نرخ $d_i = 2$ برای هر دو روش ست می کنیم(نگاه کنید به تبصره ۳).



شکل ۵: هیستوگرام مقادیر $\max\text{-}\min$ بدست آمد با استفاده از (a) روش پیشنهاد شده و (b) الگوریتم [۱۰]

برای ۲۰۰ نقطه اولیه که به طور تصادفی انتخاب شده اند.

ما مشاهده می کنیم که نرخ به دست آمده توسط الگوریتم پیشنهاد شده به طور قابل توجهی بالاتر است از آنچه که توسط روش [۱۰] بدست آمده است، نشان می دهد که روش معروفی شده در این مقاله می تواند راه حل های با کیفیت بالاتر نسبت به رقیبیش برای مسئله طراحی ارائه دهد (۱۲)، ما همچنین می بینیم که نرخ بدست آمده از الگوریتم پیشنهاد شده افزایش SNR را بهبود می دهد، در حالی که برای روش [۱۰] نرخ اشباع فراتر از SNR در حدود ۱۵ dB است. این رفتار نیز در نتایج شبیه سازی گزارش شده در [۱۰] دیده می شود.

همانطور که قبلا ذکر شد، مسئله بهینه سازی در نظر گرفته شده NP-hard است و در نتیجه هر راه حل بستگی به نقطه اولیه بکار گرفته شده دارد. برای بررسی وابستگی روش پیشنهادی به نقاط اولیه بکار گرفته شده، در نمودار ۵a، ما هیستوگرام نرخ های $\max\text{-}\min$ مربوطه به ۲۰۰ نقطه اولیه که به طور تصادفی انتخاب شده اند را رسم کردیم. هیستوگرام الگوریتم [۱۰] نیز در شکل ۵b نشان داده شده است. نرخ های به دست آمده روش پیشنهادی بین [۵.۱۱-۵.۹۸] است با واریانس حدود ۰.۰۲، در حالی که آنها بین [۱۰] به دست آمده اند بین [۲.۷۷-۴.۷۸] است با واریانس حدود ۰.۲. در نتیجه، در این مثال، نرخ های بالاتر بدست آمده روش پیشنهادی و عملکرد آنها فقط به نقاط اولیه بستگی دارد.

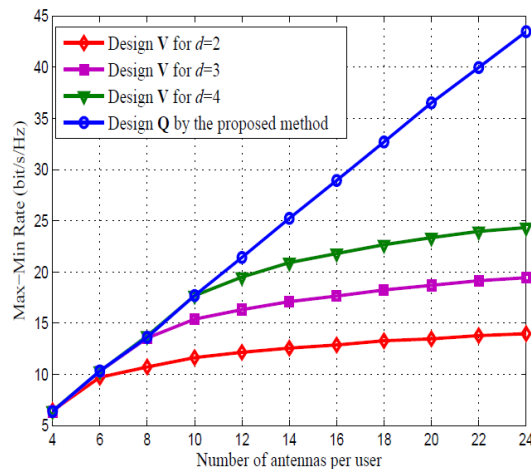
بر خلاف روش [۱۰] که ماتریس $\{d_i\}_{i=1}^N$ داده شده) را مستقیما طراحی می کند الگوریتم پیشنهادی ماتریس های کوواریانس $\{V_i\}_{i=1}^N$ precoder را طراحی می کند (ماتریس $\{Q_i\}_{i=1}^N$ را طراحی می کند) بدست تواند به عنوان یک محصول جانبی از روش پیشنهادی به دست آید، به تبصره ۲ مراجعه کنید). از این رو با استفاده از روش پیشنهادی، ماتریس های precoder بهینه $\{V_i\}_{i=1}^N$ همچنین تعداد ستون های بهینه آنها $\{d_i\}_{i=1}^N$ بدست (یعنی طول جریانهای نمادی) تعیین خواهد شد. برای نشان اهمیت این جنبه طراحی، ما نرخ $\max\text{-}\min$ بدست آمده توسط طراحی $\{Q_i\}_{i=1}^N$ و، به ترتیب، با طراحی $\{V_i\}_{i=1}^N$ برای مقادیر خاص d_i ، $\forall i$ در مقایسه با تعداد آتن ها در شکل ۶ رسم می کنیم. همانطور که انتظار می رود، نرخ های به دست آمده با طراحی $\{Q_i\}_{i=1}^N$ بالاتر است از (یا برابر) آنها بی که با طراحی $\{V_i\}_{i=1}^N$ ثابت به دست می آیند، این را می توان با این واقعیت که ارزش بهینه $\{d_i\}_{i=1}^N$ تعیین می شود توضیح داد (نگاه کنید به

تبصره ۲). سپس اثر خطاهای برآورده کانال و عدم اطمینان کوواریانس نویز را بر روی عملکرد روش پیشنهادی در

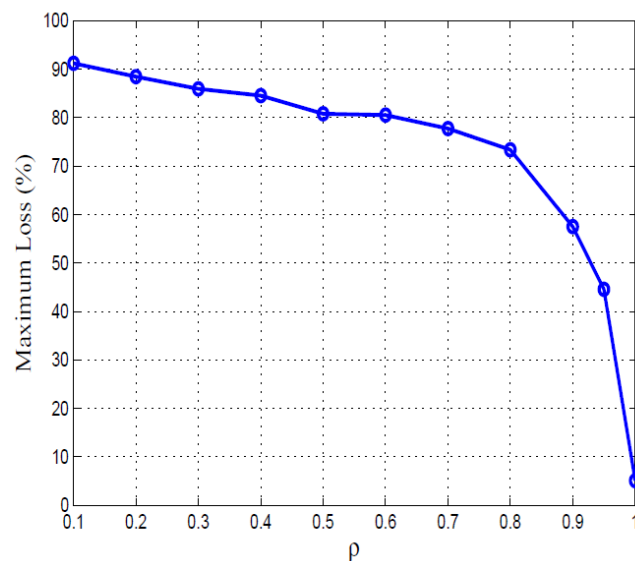
بخش چهارم بررسی می کنیم. برای این منظور، ما سنت می کنیم همچنین

پارامتر loss را تعریف می کنیم.

$$\mathcal{L}(\rho, \zeta) = 1 - \frac{R_{nr}(\rho, \zeta)}{R_r(\rho, \zeta)} \quad (44)$$



شکل ۶: نتایج max-min بدست آمده با الگوریتم پیشنهاد شده برای طراحی $\{Q_i\}_{i=1}^N$ و به ترتیب، طراحی $\{V_i\}_{i=1}^N$ برای مقادیر مختلف d ، در مقایسه با تعداد آنتن های هر کاربر (M)



شکل ۷: کاهش L (درصدی) در مقایسه با پارامتر خطای CSI

که $R_r(\rho, \zeta)$ و $R_{nr}(\rho, \zeta)$ نشان دهنده نرخ های max-min است که توسط روش های غیرمستقیم و قوی به ترتیب برای پارامترهای نامعلوم $\mathcal{L}(\rho, \zeta)$ بدست آمده اند. توجه داشته باشید که پارامتر $\mathcal{L}(\rho, \zeta)$ نزول عملکرد ناشی از استفاده روش غیرمستقیم به جای روش قوی را تعیین می کند. همچنین توجه داشته باشید که L وابسته به تحقق ماتریس های کanal و همچنین کوواریانس نویز است. در شکل ۷، ما حداقل مقدار $\mathcal{L}(\rho, \zeta)$ را نسبت به ρ برای تحقق ۱۰۰ ماتریس کanal رسم کردیم. در این مثال، ما $\zeta = 0.25$ با $\Gamma_i = \hat{\Gamma}_i + \zeta I, \forall i$ است می کنیم. این می تواند حتی برای مقادیر بزرگ ρ در نظر گرفته شود (به عنوان مثال، خطاهای تخمین کanal نسبتا کم)، با استفاده از روش قدرتمند، نرخ های max-min به میزان قابل توجهی افزایش می یابد. همانطور که انتظار می رود، ضررها کاهش می یابد کیفیت تخمین بهبود می یابد، به عنوان مثال ρ افزایش می یابد. توجه داشته باشید که loss غیر صفر است حتی برای مورد $\rho=1$ کامل است. این به علت عدم اطمینان در کوواریانس های نویز است. در نهایت، توجه داشته باشید که در این مثال ما مشاهده های عددی را داریم که عملکرد loss حساسیت بیشتری نسبت به عدم قطعیت CSI دارد تا به عدم قطعیت کوواریانس نویز.

۶. نتیجه

در این مقاله، یک شبکه کanal تداخلی MIMO را با ماتریس های دیکدر LMMSE متداول در گیرنده ها در نظر گرفتیم برای ماتریس های کوواریانس انتقالی تحت معیار عادلانه max-min که ما طراحی کرده ایم. این مسئله در تعداد کاربران غیر محدب و NP-hard است. ما یک الگوریتم کارآمد را بر اساس تکنیک بهینه MM ارائه کردیم که راه حل بهینه محلی برای مسئله طراحی محاسبه می کند. ما نشان دادیم که الگوریتم پیشنهاد شده همگرا است. ما همچنین عدم قطعیت در کوواریانس های نویز و CSI را در نظر گرفتیم و الگوریتم مان را برای طراحی ماتریس های کوواریانس precoder در این موارد گسترش دادیم. نتایج عددی شامل اثربخشی روش پیشنهادی در سناریوهای مختلف است.

A پیوست

اثبات (۶) و (۷)

ما با ارائه اثبات LMMSE در (۶) شروع می کنیم. فرض کنید $E\{s_i\} = 0$ و $E\{y_i\} = 0$ ، برآوردگر

برای y_i داده شده در عبارت زیر است: [۲۲]

$$\hat{s}_i = \underbrace{\mathbf{C}_{s_i y_i} \mathbf{C}_{y_i}^{-1}}_{\triangleq \mathbf{W}_i} y_i \quad (45)$$

جایی که $\mathbf{C}_{s_i y_i}$ ماتریس متقابل کوواریانس بین s_i و y_i است و \mathbf{C}_{y_i} ماتریس خودکار کوواریانس y_i است. با استفاده از (۲) و توجه به $i \neq j$ داریم:

$$\begin{aligned} \mathbf{C}_{s_i y_i} &= E\{s_i y_i^H\} = \mathbf{V}_i^H \mathbf{H}_{ii}^H \\ \mathbf{C}_{y_i} &= E\{y_i y_i^H\} = \sum_{j=1}^N \mathbf{H}_{ji} \mathbf{V}_j \mathbf{V}_j^H \mathbf{H}_{ji}^H + \boldsymbol{\Gamma}_i \end{aligned} \quad (46)$$

عبارت LMMSE در (۶) با جایگزینی (۴۶) در (۴۵) بدست می آید. بعد، ما نشان می دهیم که جایگزینی (۶) در (۴) بیانگر نرخ R_i در (۷) است. در پایان، ما با استفاده از شناسه معکوس ماتریس $BC = A^{-1}B(C^{-1} + DA^{-1})$ را بازنویسی می کنیم به صورت زیر:

Let $\Omega_i \triangleq \mathbf{W}_i \mathbf{H}_{ii} \mathbf{V}_i \mathbf{V}_i^H \mathbf{H}_{ii}^H \mathbf{W}_i^H (\mathbf{W}_i \mathbf{C}_i \mathbf{W}_i^H)^{-1}$, then (47)

$$\begin{aligned} \Omega_i &= \mathbf{C}_e \mathbf{V}_i^H \mathbf{H}_{ii}^H \mathbf{C}_e^{-1} \mathbf{H}_{ii} \mathbf{V}_i \mathbf{C}_e^{-1} \\ &= \mathbf{C}_e \mathbf{V}_i^H \mathbf{H}_{ii}^H \mathbf{C}_e^{-1} \mathbf{H}_{ii} \mathbf{V}_i \mathbf{C}_e \left(\mathbf{C}_e \mathbf{V}_i^H \mathbf{H}_{ii}^H \mathbf{C}_e^{-1} \mathbf{H}_{ii} \mathbf{V}_i \mathbf{C}_e \right)^{-1} \\ &= \mathbf{C}_e \mathbf{V}_i^H \mathbf{H}_{ii}^H \mathbf{C}_e^{-1} \mathbf{H}_{ii} \mathbf{V}_i \mathbf{C}_e^{-1} \end{aligned} \quad (48)$$

در نهایت، به آسانی ثابت می شود که با جایگزینی (۴۸) در (۴) و استفاده از ویژگی تعیین کننده Sylvester، در دست آمد است.

پیوست B

اثبات پیشنهادی ۱

ابتدا توجه کنید که Q_i را می توان به صورت $Q_i = \tilde{\mathbf{V}}_i \tilde{\mathbf{V}}_i^H$ تجزیه کرد. درنظر بگیرید $B_{i,11}$ بلوك بالايی چپ را نشان می دهد. با استفاده از لم معکوس ماتریس $blockwise$ (به عنوان مثال، [۲۳] را ببینید)، ما داریم:

$$B_{i,11} = \left(I_{M_i} - \tilde{\mathbf{V}}_i^H \mathbf{H}_{ii}^H \left[\boldsymbol{\Gamma}_i + \sum_{j=1}^N \mathbf{H}_{ji} \tilde{\mathbf{V}}_j \tilde{\mathbf{V}}_j^H \mathbf{H}_{ji}^H \right]^{-1} \mathbf{H}_{ii} \tilde{\mathbf{V}}_i \right)^{-1} \quad (49)$$

سپس، با استفاده از شناسه ماتریس Woodbury ، (۴۹) را می توان به صورت زیر بازنویسی کرد:

$$\mathbf{B}_{i,11} = \mathbf{I}_{M_i} + \tilde{\mathbf{V}}_i^H \mathbf{H}_{ii}^H \left[\Gamma_i + \sum_{j \neq i} \mathbf{H}_{ji} \tilde{\mathbf{V}}_j \tilde{\mathbf{V}}_j^H \mathbf{H}_{ji}^H \right]^{-1} \mathbf{H}_{ii} \tilde{\mathbf{V}}_i \quad (50)$$

در نهایت، با جایگزینی (۵۰) در (۱۳) و استفاده از ویژگی تعیین کننده sylvester ، (۱۱) بدست آمده است.

C پیوست

اثبات اینکه $\mathbf{B}_i > \mathbf{0}$

ماتریس \mathbf{B}_i در (۱۵) تعریف شده است. ابتدا روشن است که $\mathbf{I}_{M_i} > \mathbf{0}$. بنابراین، کافی است که ثابت شود متمم

: [۲۳] [۲۱] از \mathbf{B}_i قطعی مثبت است، به عنوان مثال Schur

$$\begin{aligned} \mathbf{S}_i &\triangleq \Gamma_i + \sum_{j=1}^N \mathbf{H}_{ji} \mathbf{Q}_j \mathbf{H}_{ji}^H - \mathbf{H}_{ii} \mathbf{Q}_i \mathbf{H}_{ii}^H && (51) \\ &= \Gamma_i + \sum_{\substack{j=1 \\ j \neq i}}^N \mathbf{H}_{ji} \mathbf{Q}_j \mathbf{H}_{ji}^H > \mathbf{0} \end{aligned}$$

ماتریس های $\mathbf{H}_{ji} \mathbf{Q}_j \mathbf{H}_{ji}^H$ ، $\forall i, j$ به طور واضح قطعی مثبت است. بنابراین، \mathbf{S}_i قطعی مثبت است زیرا این مجموع یک ماتریس قطعی مثبت (Γ_i) و تعدادی از ماتریس های نیمه قطعی مثبت است، و در نتیجه $\mathbf{B}_i > \mathbf{0}$.

D پیوست

اثبات EQ (۱۷)

ما اثبات را با ارائه قضیه زیر از [۲۴] شروع میکنیم.

قضیه ۲. درنظر بگیرید $\mathbf{X} \in \mathbf{S}_N^+$ و به این صورت تعریف شده :

$$\nabla_{\mathbf{X}} f(\mathbf{X}) = \begin{bmatrix} \frac{\partial f(\mathbf{X})}{\partial \mathbf{X}_{11}} & \frac{\partial f(\mathbf{X})}{\partial \mathbf{X}_{12}} & \frac{\partial f(\mathbf{X})}{\partial \mathbf{X}_{13}} & \cdots & \frac{\partial f(\mathbf{X})}{\partial \mathbf{X}_{1N}} \\ \frac{\partial f(\mathbf{X})}{\partial \mathbf{X}_{21}} & \frac{\partial f(\mathbf{X})}{\partial \mathbf{X}_{22}} & \frac{\partial f(\mathbf{X})}{\partial \mathbf{X}_{23}} & \cdots & \frac{\partial f(\mathbf{X})}{\partial \mathbf{X}_{2N}} \\ \vdots & \ddots & \ddots & \ddots & \vdots \\ \frac{\partial f(\mathbf{X})}{\partial \mathbf{X}_{N1}} & \frac{\partial f(\mathbf{X})}{\partial \mathbf{X}_{N2}} & \frac{\partial f(\mathbf{X})}{\partial \mathbf{X}_{N3}} & \cdots & \frac{\partial f(\mathbf{X})}{\partial \mathbf{X}_{NN}} \end{bmatrix}$$

برای یک تابع متمايز $f(\mathbf{X}): \mathbf{S}_N^+ \rightarrow \mathbf{R}$. سپس نابرابری زیر برای هر تابع محدب (متمايز) اجرا می شود :

$$f(\mathbf{Y}) \geq f(\mathbf{X}) + \text{tr}\{(\nabla_{\mathbf{X}} f(\mathbf{X}))^H (\mathbf{Y} - \mathbf{X})\}, \quad \forall \mathbf{X}, \mathbf{Y} \succeq \mathbf{0} \quad (52)$$

برای استفاده از لم فوق، ما فرمول های تمایز زیر را داریم (که برای $X \in S_n^{++}$ و A, B از ابعاد مناسب اجرا می شود):

$$\nabla_X (\det(AX^{-1}B)) = -\det(AX^{-1}B)X^{-1}A^H(B^H X^{-1} A^H)^{-1} B^H X^{-1}$$

$$\nabla_X (\log(f(X))) = \frac{\nabla_X(f(X))}{f(X)} \quad (53)$$

(54)

برای محاسبه $\nabla_X \log \det(U^H X^{-1} U)$ برای تابع $\psi(X) \triangleq \det(U^H X^{-1} U)$ در لم ۱، تعریف می کنیم و توجه داشته باشید که با استفاده از (۵۳) - (۵۴) ما بدست می آوریم:

$$\begin{aligned} \nabla_X(\log(\psi(X))) &= \left(\frac{1}{\psi(X)} \right) \nabla_X(\psi(X)) \\ &= -(\det(U^H X^{-1} U))^{-1} \nabla_X(\det(U^H X^{-1} U)) \\ &= -X^{-1} U (U^H X^{-1} U)^{-1} U^H X^{-1}. \end{aligned} \quad (55)$$

اثبات (۱۷) شامل استفاده از عبارت $\nabla_X \log \det(U^H X^{-1} U)$ در بالا در نابرابری (۵۲) می شود.

REFERENCES

- [1] J. Zander, "Performance of optimum transmitter power control in cellular radio systems," IEEE Transactions on Vehicular Technology, vol. 41, no. 1, pp. 57–62, 1992.
- [2] ——, "Distributed cochannel interference control in cellular radio systems," IEEE Transactions on Vehicular Technology, vol. 41, no. 3, pp. 305–311, Aug 1992.
- [3] H. Boche and M. Schubert, "Resource allocation in multiantenna systems-achieving max-min fairness by optimizing a sum of inverse SIR," IEEE Transactions on Signal Processing, vol. 54, no. 6, pp. 1990–1997, June 2006.
- [4] Y. F. Liu, Y. H. Dai, and Z. Q. Luo, "Coordinated beamforming for MISO interference channel: Complexity analysis and efficient algorithms," IEEE Transactions on Signal Processing, vol. 59, no. 3, pp. 1142–1157, March 2011.
- [5] M. Schubert and H. Boche, "Solution of the multiuser downlink beamforming problem with individual SINR constraints," IEEE Transactions on Vehicular Technology, vol. 53, no. 1, pp. 18–28, Jan 2004.
- [6] W. Yang and G. Xu, "Optimal downlink power assignment for smart antenna systems," in Proceedings of the 1998 IEEE International Conference on Acoustics, Speech and Signal Processing, 1998., vol. 6, 1998, pp. 3337–3340 vol.6.
- [7] A. Wiesel, Y. C. Eldar, and S. Shamai, "Linear precoding via conic optimization for fixed MIMO receivers," IEEE

- Transactions on Signal Processing, vol. 54, no. 1, pp. 161–176, Jan 2006.
- [8] Y.-F. Liu, Y.-H. Dai, and Z.-Q. Luo, “Max-min fairness linear transceiver design for a multi-user MIMO interference channel,” in 2011 IEEE International Conference on Communications (ICC). IEEE, 2011, pp. 1–5.
- [9] M. Razaviyayn, M. Hong, and Z.-Q. Luo, “Linear transceiver design for a MIMO interfering broadcast channel achieving max-min fairness,” in 2011 Forty Fifth Asilomar Conference on Signals, Systems and Computers (ASILOMAR). IEEE, 2011, pp. 1309–1313.
- [10] ——, “Linear transceiver design for a MIMO interfering broadcast channel achieving max-min fairness,” *Signal Processing*, vol. 93, no. 12, pp. 3327–3340, 2013.
- [11] P. Aquilina, A. C. Cirik, and T. Ratnarajah, “Weighted sum rate maximization in full-duplex multi-user multi-cell MIMO networks,” *IEEE Transactions on Communications*, vol. 65, no. 4, pp. 1590–1608, 2017.
- [12] S. Huberman and T. Le-Ngoc, “MIMO full-duplex precoding: A joint beamforming and self-interference cancellation structure,” *IEEE Transactions on Wireless Communications*, vol. 14, no. 4, pp. 2205–2217, 2015.
- [13] X. Wang, Y. Wang, and S. Ma, “Upper bound on uplink sum rate for multi-cell massive MU-MIMO systems with ZF receivers,” *IEEE Wireless Communications Letters*, vol. 6, no. 2, pp. 250–253, 2017.
- [14] C. Zhang, Y. Huang, Y. Jing, S. Jin, and L. Yang, “Sum-rate analysis for massive MIMO downlink with joint statistical beamforming and user scheduling,” *IEEE Transactions on Wireless Communications*, vol. 16, no. 4, pp. 2181–2194, 2017.
- [15] M. Razaviyayn, M. Sanjabi, and Z.-Q. Luo, “Linear transceiver design for interference alignment: Complexity and computation,” *IEEE Transactions on Information Theory*, vol. 58, no. 5, pp. 2896–2910, 2012.
- [16] M. M. Naghsh, M. Soltanalian, P. Stoica, M. Masjedi, and B. Ottersten, “Efficient sum-rate maximization for medium-scale MIMO AF-relay networks,” *IEEE Transactions on Wireless Communications*, vol. 15, no. 9, pp. 6400–6411, 2016.
- [17] Y.-F. Liu, M. Hong, and Y.-H. Dai, “Max-min fairness linear transceiver design problem for a multi-user SIMO interference channel is polynomial time solvable,” *IEEE Signal Processing Letters*, vol. 20, no. 1, pp. 27–30, 2013.
- [18] F. Negro, S. P. Shenoy, I. Ghauri, and D. T. Slock, “On the MIMO interference channel,” in *IEEE Information Theory and Applications Workshop (ITA)*, 2010, 2010, pp. 1–9.
- [19] P. Stoica and Y. Selen, “Cyclic minimizers, majorization techniques, and the expectation-maximization algorithm: a refresher,” *IEEE Signal Processing Magazine*, vol. 21, no. 1, pp. 112–114, 2004.
- [20] M. M. Naghsh, M. Modarres-Hashemi, M. Alaee, and E. Alian, “An information theoretic approach to robust constrained code design for MIMO radars,” *IEEE Transactions on Signal Processing*, vol. 64, no. 14, pp. 3647–3661, 2017.
- [21] S. Boyd and L. Vandenberghe, *Convex Optimization*. Cambridge University Press, 2004.
- [22] S. M. Kay, *Fundamentals of statistical signal processing*. Prentice Hall, 1993.
- [23] P. Stoica, R. L. Moses et al., *Spectral analysis of signals*. Prentice Hall, 2005, vol. 452.
- [24] C. Zalinescu, *Convex Analysis in General Vector Spaces*. World Scientific, 2002.



این مقاله، از سری مقالات ترجمه شده رایگان سایت ترجمه فا میباشد که با فرمت PDF در اختیار شما عزیزان قرار گرفته است. در صورت تمایل میتوانید با کلیک بر روی دکمه های زیر از سایر مقالات نیز استفاده نمایید:

✓ لیست مقالات ترجمه شده

✓ لیست مقالات ترجمه شده رایگان

✓ لیست جدیدترین مقالات انگلیسی ISI

سایت ترجمه فا؛ مرجع جدیدترین مقالات ترجمه شده از نشریات معتبر خارجی